

УДК 547.7:541.124

ФИЗИЧЕСКАЯ ХИМИЯ

Э. Ф. ОЛЕЙНИК, О. А. ПЛЕЧОВА, В. М. НОВОТОРИЦЕВ, Л. В. КОМПАНИЕЦ,
 В. П. ВОЛКОВ, Е. Ф. РАЗВАДОВСКИЙ,
 член-корреспондент АН СССР И. С. ЕНИКОЛОПЯН

**ВЗАИМОДЕЙСТВИЕ КИСЛОРОДСОДЕРЖАЩИХ ЦИКЛОВ
 С КАРБОНИЕВЫМИ СОЛЯМИ**

Согласно современным представлениям, активным началом в полимеризации кислородсодержащих соединений на карбониевых и оксониевых солях является катионная часть катализатора (^{1, 2}). В настоящей работе исследовано взаимодействие иона Ph_3C^+ с рядом циклических эфиров и ацеталей: окисью этилена (ОЭ), окисью пропилена (ОП), β -пропиолактоном (β -ПЛ), диоксоланом (ДО), триоксаном (ТО) и тетраоксаном (ТТО) в

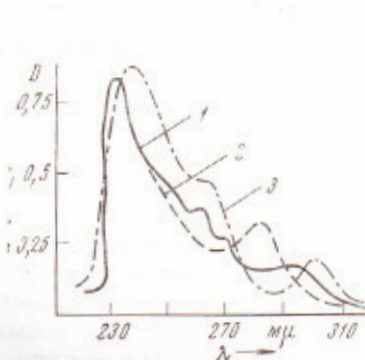


Рис. 1

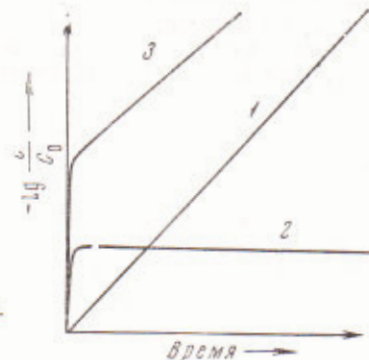


Рис. 2

Рис. 1. Спектры поглощения солей $\text{Ph}_3\text{C}^+\text{·A}^-$ в CH_2Cl_2 ; $[\text{Ph}_3\text{C}^+\text{·A}^-] \approx 3 \cdot 10^{-5}$ мол/л, где A^- — следующие ионы: 1 — SbF_6^- ; 2 — SbCl_6^- ; 3 — BF_4^- .

Рис. 2. Типы кинетических кривых взаимодействия ионов Ph_3C^+ с кислородсодержащими циклами. C — текущая концентрация Ph_3C^+ , C_0 — исходная концентрация соли

растворе хлористого метилена. Исследовать такие взаимодействия непосредственно в процессе полимеризации трудно из-за возможной реакции полимера с катализатором или образования отдельной полимерной фазы, что приводит к появлению в системе новых равновесий типа полимер \rightleftharpoons мономер (³).

В связи с этим исследованы растворы с низкими концентрациями солей (от $1 \cdot 10^{-5}$ до $5 \cdot 10^{-5}$ мол/л); концентрации мономеров были либо ниже равновесных, либо такими, чтобы количество образующегося полимера было мало и раствор оставался гомогенным. Специальными исследованиями, проведенными совместно с А. Т. Пономаренко, показано, что в рабочем интервале концентраций соли диссоциированы практически полностью, и в присутствии небольших добавок мономера (до 0,2 мол/л) электропроводность системы менялась мало.

Электронные спектры поглощения растворов $\text{Ph}_3\text{C}^+\text{SbF}_6^-$, $\text{Ph}_3\text{C}^+\text{SbCl}_6^-$, $\text{Ph}_3\text{C}^+\text{BF}_4^-$ в CH_2Cl_2 показаны на рис. 1. Длинноволновая часть спектра всех трех солей, характеризующая поглощение иона Ph_3C^+ , одинакова (¹), различаются они в области 230—290 мк. В этой же области различны спектры продуктов реакции взаимодействия соли с мономерами (Ph_3CH , Ph_3COR и

др.). За скорость реакции взаимодействия Ph_3C^+ с циклами следили спектрофотометрически по изменению характерных максимумов поглощения карбоний-иона 412 и 435 м μ .

В результате исследования реакций Ph_3C^+ с различными циклами мы получили следующие три типа кинетических зависимостей (рис. 2): 1) линейная зависимость $-\lg(C/C_0)$ от времени (рис. 2, 1), желтая окраска ионов Ph_3C^+ исчезает необратимо. Такое поведение характерно для ОЭ, ОП и ДО; 2). После введения мономера наблюдается (рис. 2, 2) быстрое изменение начальной концентрации ионов Ph_3C^+ (с скачок); затем концентрация их остается постоянной в течение продолжительного времени. Это наблюдается для β -ПЛ, ТО, ТТО, а также 1,4-диоксаны. 3) Сложная кинетическая зависимость (рис. 2, 3), представляющая сочетание двух указанных выше

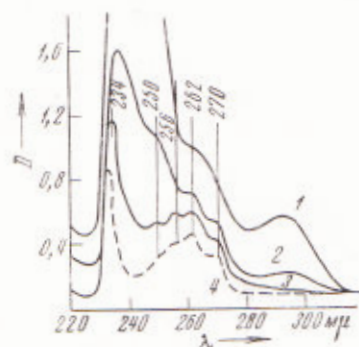


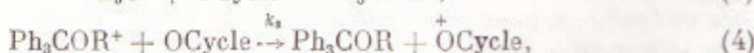
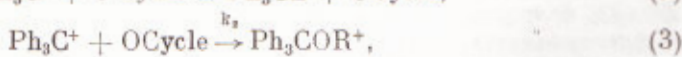
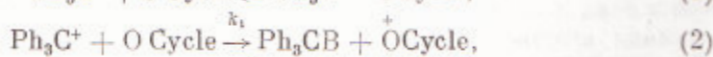
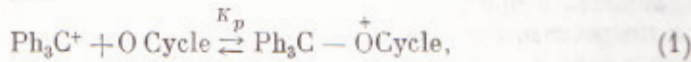
Рис. 3

Рис. 3. Спектры системы $(\text{Ph}_3\text{C}^+\text{SbF}_6^- + \text{ДО})$ в CH_2Cl_2 ; $[\text{Ph}_3\text{C}^+\text{SbF}_6^-] \approx 4,5 \cdot 10^{-4}$ мол/л, $[\text{ДО}] \approx 0,15$ мол/л: 1 — до введения ДО, 2 — в течение процесса, 3 — после полного обесцвечивания системы, 4 — спектр Ph_3CH в CH_2Cl_2 ; $[\text{Ph}_3\text{CH}] \approx 5 \cdot 10^{-4}$ мол/л

Рис. 4. Спектры поглощения: 1 — системы $\text{Ph}_3\text{C}^+\text{SbF}_6^- + \text{ОП}$ в CH_2Cl_2 после ее полного обесцвечивания; $[\text{Ph}_3\text{C}^+\text{SbF}_6^-] \approx 4 \cdot 10^{-4}$ мол/л; 2 — эфиры $\text{Ph}_3\text{C}-\text{O}-\text{R}$, $\text{R} = \text{C}_2\text{H}_5$, CH_3 , H ; 3 — спектр Ph_3CH (дан для сравнения)

типов, характерна для тетрагидрофурана (ТГФ), а также для линейных ацеталей $\text{R}-\text{O}-\text{CH}_2-\text{O}-\text{R}$ (где $\text{R} = \text{CH}_3, \text{C}_2\text{H}_5$).

Различные типы кинетических кривых можно объяснить совокупностью следующих реакций:



где O Cycle — кислородсодержащий цикл, В — фрагмент цикла (чаще всего гидрид-ион H^- (‡)), В — ациклический радикал. Противоионы в этих схемах опущены. В схему (1) — (4) для простоты не включены реакции,

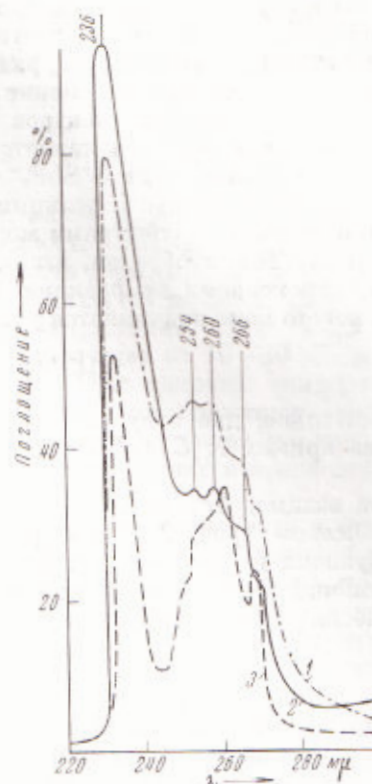


Рис. 4

приводящие к равновесному образованию карбоксониевых ионов (так как они кинетически неразличимы с реакцией (1)), а также возможные пути образования Ph_3CB и Ph_3COR (кинетически наразличимые с реакциями (2), (3)). Реакция (1) представляет собой частичный переход Ph_3C^+ в оксониевые ионные образования. Эта реакция обусловливает наличие скачка в кинетических кривых, относящихся к типам 2 и 3 рис. 2. Отсутствие «скачки» в случаях взаимодействия Ph_3C^+ с ОЭ, ОП и ДО свидетельствует о малой роли равновесия (1) в этих системах. Исходный катализатор реагирует с этими мономерами по уравнениям (2) — (4).

На рис. 3 показано изменение спектра системы $\text{Ph}_3\text{C}^+\text{SbF}_6^- + \text{ДО}$ со временем. Из сравнения спектров (кривые 3 и 4) видно, что основным продуктом такой реакции является трифенилметан. Другая картина наблюдается в системах $\text{Ph}_3\text{C}^+\text{SbF}_6^- + \text{ОЭ}$ и $\text{Ph}_3\text{C}^+\text{SbF}_6^- + \text{ОП}$. На рис. 4 приведен спектр продукта реакции Ph_3C^+ с ОП (кривая 1), который полностью совпадает со спектрами модельных эфиров Ph_3COCH_3 и $\text{Ph}_3\text{COC}_2\text{H}_5$ (кривая 2). Таким образом, взаимодействие с ДО протекает по реакции (2), а с эпоксидами по реакции (3). Скорость расходования трифенилкарбониевого иона подчиняется уравнению

$$\lg [C / C_0] = -k_{(2)}[M]t. \quad (5)$$

Действительно, для этих соединений наблюдается линейная зависимость наклона кривых $\lg [C / C_0]$ как функции времени от концентрации мономеров.

При взаимодействии трифенилкарбониевого иона с ТО, ТТО, β -ПЛ, 1,4-диоксаном (рис. 2, 2) быстро устанавливается равновесие. Скорости последующих необратимых реакций пренебрежимо малы. Величина скачка пропорциональна концентрации добавляемого мономера. Константы равновесия увеличиваются в ряду

$$\text{ТО} < \text{TTO} < \beta\text{-ПЛ} < 1,4\text{-ДО}.$$

В реакциях третьего типа (рис. 2, 3) существенны как равновесные реакции, так и необратимые взаимодействия трифенилкарбония с мономерами. Электронный спектр продуктов реакции $\text{Ph}_3\text{C}^+\text{SbF}_6^- + \text{ТГФ}$ в области 220—300 м μ не может быть приписан ни к одному из рассмотренных модельных соединений, и, по-видимому, обусловлен существованием смеси продуктов — эфиров и трифенилметана. Совместное решение уравнений (1) и (2) (или (3)) приводит к следующей зависимости:

$$\ln \frac{C}{C_0} + \ln (1 + K_p[M]) = - \frac{K[M]}{1 + K_p[M]} t, \quad (6)$$

где K есть k_1 , k_2 или их линейная комбинация. Уравнение довольно хорошо описывает процесс и позволяет определить K и K_p .

Добавление в реагирующую систему активных примесей, таких как H_2O , приводит к изменению количественных характеристик (скакок, наклон) кинетических кривых или даже к изменению их вида. Так, примеси H_2O в ТО ведут к тому, что кинетическая кривая из типа 2 (рис. 2) превращается в кривую типа 3 и с течением времени раствор обесцвечивается полностью. Это требует особой тщательности при проведении эксперимента.

Поступило
17 XII 1970

ЦИТИРОВАННАЯ ЛИТЕРАТУРА

- ¹ C. E. H. Bawn, Pure, Appl. Chem., **16**, 285 (1968). ² A. Ledwith, Adv. in Chem. Ser., **91**, 20 (1969). ³ Ал. Ал. Берлин, К. А. Богданова и др., ДАН, **184**, 1128 (1969). ⁴ N. Kalfoglen, M. Szwarc, J. Phys. Chem., **72**, № 6, 2233 (1968). ⁵ I. Kuntz, J. Polym. Sci., **B4**, 427 (1966).